

analysis better differentiate fat-poor angiomyolipoma from clear cell renal cell carcinoma: compared with conventional CT analysis? [J]. *Abdom Radiol*, 2020, 45(8):2500-2507.

[17] Yu HS, Scalera J, Khalid M, et al. Texture analysis as a radiomic marker for differentiating renal tumors [J]. *Abdom Radiol*, 2017,

42(10):2470-2478.

[18] Flum AS, Hamoui N, Said MA, et al. Update on the diagnosis and management of renal angiomyolipoma [J]. *J Urol*, 2016, 195(4): 834-846.

(收稿日期:2020-11-28)

· 病例报道 ·

Ultrasonic manifestations of acute omental infarction: a case report 急性大网膜梗死超声表现 1 例

张爱华 周锦真 倪志翔 周守群

[中图法分类号]R445.1

[文献标识码]B

患者男,46岁,微胖,以“右下腹痛1d”急诊入院。体格检查:体温36.3℃,脉搏111次/min,呼吸20次/min,血压124/80 mm Hg (1 mm Hg=0.133 kPa)。专科检查:腹膨隆,右侧会阴部见一大小约5 cm×4 cm×3 cm椭圆形包块,质地软,平卧位后肿物未消失,无局部疼痛感,无压痛,不可还纳入腹腔,肿物透光试验阴性。右下腹肌紧张,右下腹麦氏点明显压痛、反跳痛,局部未触及明显包块。实验室检查:白细胞 $17.50 \times 10^9/L$,中性粒细胞 $14.14 \times 10^9/L$,中性粒细胞百分率80.80%,单核细胞 $1.66 \times 10^9/L$,C反应蛋白186.00 mg/L,淋巴细胞占比9.1%。超声检查:右下腹部阑尾区探及一范围约5.09 cm×1.78 cm的不规则片状高回声区,占位效应不明显,与周围组织界限欠清,探头加压患者有剧痛感,其内未探及明显血流信号(图1)。盆腔CT提示:①阑尾异常改变,考虑阑尾炎;②腹膜、肠系膜脂肪间隙模糊,考虑炎性改变;③右侧腹股沟疝(图2)。患者于全身麻醉下行腹腔镜+大网膜切除,术中所见:右侧髂窝及盆腔内可见血性渗液,无脓性分泌物,大网膜掉入右侧疝囊内呈大片絮状坏死,从疝囊内分离出坏死大网膜,见大网膜扭转成团(图3),坏死面积达20 cm×20 cm,无明显恶臭味。术中诊断:①右侧腹股沟疝伴嵌顿;②急性大网膜坏死。病理诊断:纤维脂肪组织伴弥漫出血、坏死(图4)。

讨论:大网膜是由4层腹膜折成,内含结缔组织、脂肪、淋巴

管和丰富的血管,其中含许多巨噬细胞,有重要的防御功能。大网膜梗死由静脉瘀滞、血栓形成和出血坏死引起^[1],可分为原发性和继发性,均可扭转或不扭转。大网膜梗死的主要临床表现为突发腹痛,常发生在右侧(88%)^[2]。单从临床上大网膜梗死难以与其他急性腹痛相鉴别,尤其发生在右下腹部时,更难与急性阑尾炎相鉴别。本病例超声表现为右前壁与结肠间不均质稍高回声区,占位效应不明显,探头加压此处不可压缩,患者有剧痛感,与文献^[3]报道基本一致。本病例大网膜梗死原因为大网膜脱入腹股沟疝导致其嵌顿、扭转致坏死,因此超声检查时候应注重扩大检查范围追踪其病因,才能最大程度地避免误漏诊。

参考文献

[1] Cianci R, Filippone A, Basilico R, et al. Idiopathic segmental infarction of the greater omentum diagnosed by unenhanced multidetector-row CT and treated successfully by laparoscopy [J]. *Emerg Radiol*, 2008, 15(1):51-56.

[2] Buell KG, Burke-Smith A, Patel V, et al. Omental infarction: the great impersonator [J]. *Cureus*, 2017, 9(12): e1940.

[3] Baldisserotto M, Maffazzoni DR, Dora MD. Omental infarction in children: color Doppler sonography correlated with surgery and pathology findings [J]. *Am J Oentgenol*, 2005, 184(1): 156-162.



图1 大网膜梗死彩色多普勒超声图像



图2 大网膜梗死CT图

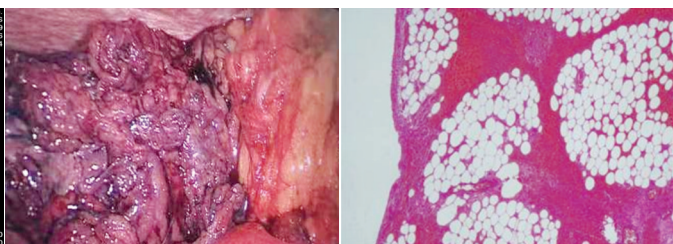


图3 大网膜梗死术中所见

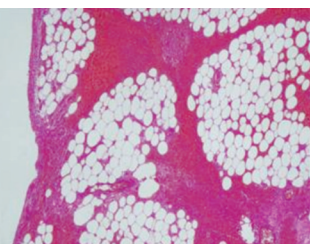


图4 大网膜梗死术后病理图(HE染色,×400)

(收稿日期:2020-02-14)